

# 高速钢钻头电火花沉积 Ti(C,N)/Al<sub>2</sub>O<sub>3</sub> 复合涂层的组织及切削性能

高玉新，易剑，方淳

(台州学院 机械工程学院，浙江 台州 318000)

**摘要：**目的 在高速钢钻头表面电火花沉积 Ti(C,N)/Al<sub>2</sub>O<sub>3</sub> 复合涂层，以提高其切削性能。方法 利用电火花沉积技术，以 Ti(C,N)/Al<sub>2</sub>O<sub>3</sub> 作为电极材料，在高速钢钻头表面制备 Ti(C,N)/Al<sub>2</sub>O<sub>3</sub> 涂层，考察涂层的物相组成、组织形貌及横截面硬度分布，并进行切削试验。结果 涂层组织均匀，厚度约 32~36 μm，物相主要为 C<sub>0.3</sub>N<sub>0.7</sub>Ti, Al<sub>2</sub>O<sub>3</sub>, AlTi<sub>3</sub>, Fe<sub>7</sub>W<sub>6</sub>, Fe<sub>4</sub>N, TiN 和 AlN，平均硬度是基体高速钢的 2.6 倍。**结论** 在高速钢钻头表面制备 Ti(C,N)/Al<sub>2</sub>O<sub>3</sub> 涂层可以提高刀具的切削性能，延长其使用寿命。

**关键词：**电火花沉积；高速钢钻头；Ti(C,N)/Al<sub>2</sub>O<sub>3</sub> 复合涂层；切削性能

中图分类号：TG174.444 文献标识码：A 文章编号：1001-3660(2014)05-0029-04

## Microstructure and Cutting Performance of Ti(C,N)/Al<sub>2</sub>O<sub>3</sub> Composite Coating on High-speed Steel Drill Produced by Electro-spark Deposition

GAO Yu-xin, YI Jian, FANG Chun

(College of Mechanical Engineering, Taizhou University, Taizhou 318000, China)

**ABSTRACT:** **Objective** To prepare electro-spark deposited Ti(C,N)/Al<sub>2</sub>O<sub>3</sub> coating on high-speed steel (HSS) drills, and to investigate the cutting performance of the coating. **Methods** Ti(C,N)/Al<sub>2</sub>O<sub>3</sub> composite coatings on high-speed steel (HSS) drills were prepared by electrospark deposition technique using Ti(C,N)/Al<sub>2</sub>O<sub>3</sub> as electrode material. The phase composition, morphology and hardness distribution of the coating were investigated, and the cutting performance tests of the HSS drill coated by Ti(C,N)/Al<sub>2</sub>O<sub>3</sub> were also conducted. **Results** The microstructure of Ti(C,N)/Al<sub>2</sub>O<sub>3</sub> coating was homogeneous with a thickness of 32~36 μm. The phase composition of the coating was mainly C<sub>0.3</sub>N<sub>0.7</sub>Ti, Al<sub>2</sub>O<sub>3</sub>, AlTi<sub>3</sub>, Fe<sub>7</sub>W<sub>6</sub>, Fe<sub>4</sub>N, TiN and AlN. The average hardness of the coating was 2.6 times higher than that of HSS. **Conclusion** Crack-free Ti(C,N)/Al<sub>2</sub>O<sub>3</sub> coating could be prepared on HSS drill by electrospark deposition technique. The cutting performance of HSS drill with Ti(C,N)/Al<sub>2</sub>O<sub>3</sub> coating was improved and the service life was prolonged.

**KEY WORDS:** electrospark deposition; high-speed steel drill; Ti(C,N)/Al<sub>2</sub>O<sub>3</sub> composite coating; cutting performance

收稿日期：2014-05-03；修订日期：2014-06-25

Received : 2014-05-03; Revised : 2014-06-25

基金项目：浙江省工量刃具检测与深加工技术重点实验室开放基金项目(ZD201209);台州市科技计划项目(1202ky09);浙江省科技计划项目(2012C21107)

Fund: The Open Research Fund Program of Zhejiang Provincial Key Laboratory for Cutting Tools(ZD201209), Taizhou Municipal Science and Technology Project(1202ky09), and Science and Technology Plan of Zhejiang Province(2012C21107)

作者简介：高玉新(1974—)，男，博士，讲师，主要研究方向为金属材料表面改性。

Biography: GAO Yu-xin(1974—), Male, Doctor, Research focus: surface modification of metallic materials.

高速钢(HSS)是加入了 W,Cr,Mo,V 等合金元素的高合金工具钢,广泛应用于钻削刀具的制造<sup>[1]</sup>。高速钢钻头的耐磨性、热硬性低于硬质合金钻头,但价格相对低廉,同时具有比普通工具钢更优异的强度、韧性、热硬性和工艺性,因此在我国机械制造业中占有很大的市场份额<sup>[2]</sup>。为了弥补高速钢钻头硬度低的缺点,提高切削性能,制备硬质涂层或超硬涂层是有效手段。目前刀具涂层材料应用较多的为 TiN,AlN,TiCN,CrN,TiAlN 及 DLC 等<sup>[3-4]</sup>,常用的制备方法则有 PVD,CVD<sup>[5]</sup>。PVD 和 CVD 涂层技术投资巨大,工艺复杂,适用于在硬质基体上制备高性能涂层。

电火花沉积技术<sup>[6]</sup>具有对工件表面的热影响小,沉积时工件表面的温度可保持在环境温度,工件残余变形极小;设备投资少,工艺简单,可在线修复和强化;强化层硬度高,耐磨性高,红硬性好等特点<sup>[7-9]</sup>。张辉等<sup>[10]</sup>利用电火花沉积技术在高速钢钻头表面制备了 WC 涂层,钻削 45 钢和铸铁的结果表明,WC 涂层钻头的平均寿命比无涂层钻头分别提高了 10 倍和 13 倍。Soma Raju 等<sup>[11]</sup>利用电火花沉积技术在高速钢钻头表面制备了 WC-8Co 涂层,涂层钻头的切削寿命相比高速钢钻头提高了 5 倍。目前关于高速钢钻头的强化研究多集中于 WC 及 WC-Co 涂层,而对电火花沉积 Ti(C,N)/Al<sub>2</sub>O<sub>3</sub> 复合涂层的研究很少,文中拟通过研究弥补这方面的不足。

## 1 实验

### 1.1 Ti(C,N)/Al<sub>2</sub>O<sub>3</sub> 复合涂层的制备

高速钢钻头钢种为 W18Cr4V,其化学成分为:0.7% C,17.5% W,3.80% Cr,1.0% V,0.2% Si,0.2% Mo,其余为 Fe。钻削试验用高速钢钻头为企业用过一段时间后,重新刃磨的钻头,直径为 8.6 mm。钻头刃磨后,先用 800 号砂纸打磨,然后用丙酮清洗去油。用于金相分析的基体材料从高速钢钻头上线切割得到。电火花沉积电极材料为自制的 Ti(C,N)/Al<sub>2</sub>O<sub>3</sub> 复合电极,Al<sub>2</sub>O<sub>3</sub> 质量分数为 6% ~ 8%。

沉积 Ti(C,N)/Al<sub>2</sub>O<sub>3</sub> 涂层采用 DZS-1400 型电火花沉积设备,工艺参数为:功率 600 W,电压 60 V,频率 1000 Hz,生产率 1.5 min/cm<sup>2</sup>,氩气流量 6 L/min。钻削用高速钢钻头沉积 Ti(C,N)/Al<sub>2</sub>O<sub>3</sub> 复合涂层的位置为横刃及后刀面。

### 1.2 表征及性能测试

采用 X 射线衍射仪(XRD)分析涂层的相组成;采用扫描电镜(SEM)分析涂层微观组织;采用显微硬度计测试涂层横截面的硬度,测试载荷为 0.3 N,加载时间为 15 s。

参照 JB/T 50189—1999,对无涂层高速钢钻头、WC-8Co 涂层高速钢钻头及 Ti(C,N)/Al<sub>2</sub>O<sub>3</sub> 复合涂层高速钢钻头进行钻削实验,以分析 Ti(C,N)/Al<sub>2</sub>O<sub>3</sub> 复合涂层的性能。钻削条件如下:钻削材料为 T10 模具钢(硬度 50 ~ 54HRC,表面粗糙度 Ra=1.6 μm),钻头直径 8.6 mm,钻孔深度 30 mm,主轴转速 300 r/min,进给速度 80 mm/min,干切削。通过测量主后刀面的平均最大磨损量(VB)评价钻头的切削性能,取 VB<sub>T</sub>=0.30 mm 作为钻头磨钝的标准。钻头磨损量通过蔡司共聚焦显微镜静态观察测得。

## 2 结果与讨论

### 2.1 涂层物相分析

图 1 为 Ti(C,N)/Al<sub>2</sub>O<sub>3</sub> 复合涂层的 X 射线衍射结果。由图 1 可知,涂层主要由 C<sub>0.3</sub>N<sub>0.7</sub>Ti,Al<sub>2</sub>O<sub>3</sub>,AlTi<sub>3</sub>,Fe<sub>7</sub>W<sub>6</sub>,Fe<sub>4</sub>N,TiN 及 AlN 相组成。电火花沉积时,脉冲放电产生的高能微弧将 Ti(C,N)/Al<sub>2</sub>O<sub>3</sub> 电极端部与基体高速钢表面熔化,形成微小熔池,电极与基体各元素在熔池内发生冶金反应,形成了新的化合物。其中 Al<sub>2</sub>O<sub>3</sub>,TiN 硬质相的硬度均超过 2000HV,AlN 相的硬度也超过 1000HV<sup>[12]</sup>。涂层中形成的硬质相大大提高了涂层的硬度,有利于高速钢钻头切削性能的提高。

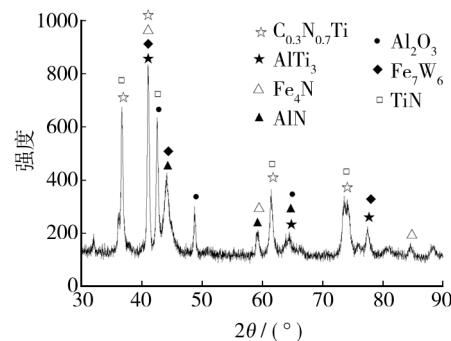


图 1 Ti(C,N)/Al<sub>2</sub>O<sub>3</sub> 复合涂层的 XRD 衍射谱

Fig. 1 XRD pattern of the Ti(C,N)/Al<sub>2</sub>O<sub>3</sub> coating

## 2.2 涂层组织形貌

图2为电火花沉积  $\text{Ti}(\text{C},\text{N})/\text{Al}_2\text{O}_3$  涂层的组织形貌。从图2a可见,涂层厚约  $32 \sim 36 \mu\text{m}$ ,组织均匀,未发现横断裂纹,孔洞很少。涂层与高速钢基体界面处存在一条亮线,这是基体与涂层材料重熔凝固后形成的平面晶组织,表明基体与涂层呈良好的冶金结合,可保证涂层在服役过程中不会脱落。热影响区组织由于电火花沉积时快速加热和快速冷却的淬火作用,得到细化,因此该区域硬度提高,这也使得由涂层到基体的硬度梯度得到缓和,利于承载。图2b是涂层中部组织的放大照片,可见涂层中的超细硬质相均匀分布于韧性基体中,硬质相颗粒与韧性基体界面处未发现裂纹,二者润湿性良好,结合牢固,这可大幅提高高速钢钻头的耐磨性能。电火花沉积工艺实际上是一种微弧焊接工艺,其特点是加热和冷却速度非常快,熔池的快热、快冷导致生成的新相奥氏体化极不均匀,形核率高,从而使组织超细化<sup>[13-14]</sup>。

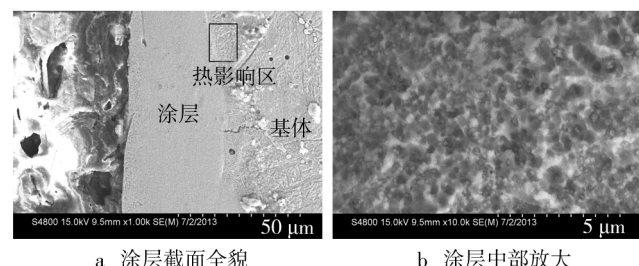


图2  $\text{Ti}(\text{C},\text{N})/\text{Al}_2\text{O}_3$  复合涂层的 SEM 形貌

Fig. 2 Typical cross-section SEM morphology of the  $\text{Ti}(\text{C},\text{N})/\text{Al}_2\text{O}_3$  coating

## 2.3 涂层横截面的硬度分布

如图3所示,电火花沉积  $\text{Ti}(\text{C},\text{N})/\text{Al}_2\text{O}_3$  复合涂层的最高硬度为  $1633\text{HV}$ ,从涂层表面到厚约  $25 \mu\text{m}$  的范围内,平均硬度值约为  $1500\text{HV}$ ,是基体硬度

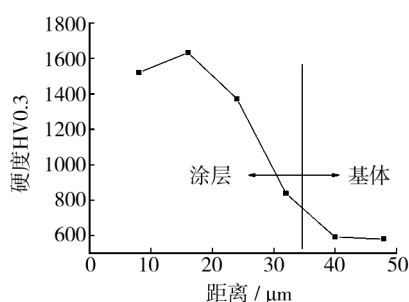


图3 涂层横截面的硬度分布

Fig. 3 The microhardness distribution of the cross-section of the coating

( $580\text{HV}$ )的2.6倍。涂层靠近高速钢基体的区域由于基体的稀释,硬度降低,约为  $840\text{HV}$ 。电火花沉积  $\text{Ti}(\text{C},\text{N})/\text{Al}_2\text{O}_3$  复合涂层虽然硬度比 PVD-TiN 涂层低<sup>[15]</sup>,但相对较厚,且梯度缓和,承载能力好。

## 2.4 涂层钻头的切削性能

图4为无涂层高速钢钻头、WC-8Co涂层高速钢钻头及  $\text{Ti}(\text{C},\text{N})/\text{Al}_2\text{O}_3$  复合涂层高速钢钻头主后刀面的磨损曲线。由图4可知,沉积两种涂层的高速钢钻头磨损比较平缓,且磨损量较小。无涂层的高速钢钻头磨损较快,在钻到120孔时磨损已经较为严重,后刀面有烧伤,不能继续使用。沉积两种涂层的高速钢钻头抗高温性能较好,特别是  $\text{Ti}(\text{C},\text{N})/\text{Al}_2\text{O}_3$  复合涂层,由于涂层中  $\text{C}_{0.3}\text{N}_{0.7}\text{Ti}$ ,  $\text{Al}_2\text{O}_3$ ,  $\text{Fe}_7\text{W}_6$ ,  $\text{Fe}_4\text{N}$ ,  $\text{TiN}$  等硬质相弥散分布于韧性高速钢基体中,因此具备优良的耐磨性、耐热性及高温红硬性;同时  $\text{Al}_2\text{O}_3$  相在钻削过程中可以形成氧化膜,从而降低摩擦系数,延长钻头的使用寿命。

图5所示为三种钻头切屑形貌的数码照片。这三种切屑都是挤压型切屑,内侧边缘不规则,特别是

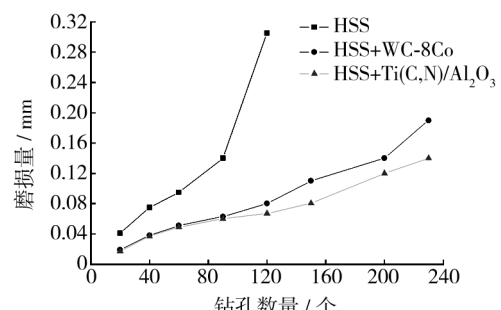


图4 钻头主后刀面磨损曲线

Fig. 4 Curves of major flank wear of HSS, HSS with WC-Co coating and HSS with  $\text{Ti}(\text{C},\text{N})/\text{Al}_2\text{O}_3$  coating

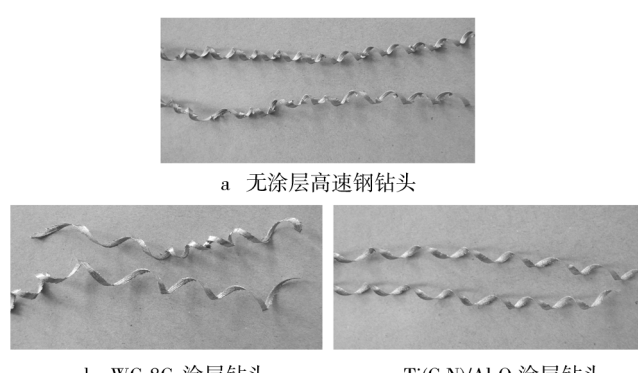


图5 钻屑形貌

Fig. 5 The morphology of drilling cuttings

无涂层高速钢钻头的切屑,内侧边缘存在锯齿形状貌。高速钢钻头的结构决定了横刃是大负前角切削,这种结构在钻削中容易出现缠屑及排屑困难,对钻削加工不利。

### 3 结论

1) 利用电火花沉积工艺可以在高速钢钻头表面制备  $Ti(C,N)/Al_2O_3$  复合涂层。涂层组织均匀,与基体呈良好的冶金结合。涂层主要物相为  $C_{0.3}N_{0.7}Ti$ ,  $Al_2O_3$ ,  $AlTi_3$ ,  $Fe_7W_6$ ,  $Fe_4N$ ,  $TiN$  和  $AlN$ 。

2) 切削试验表明,沉积  $Ti(C,N)/Al_2O_3$  复合涂层可以延长高速钢钻头的切削寿命。

### 参考文献

- [1] 周泽华. 金属切削原理 [M]. 上海: 上海科学技术出版社, 1993.  
ZHOU Ze-hua. Theory of Metal Cutting [M]. Shanghai: Shanghai Science and Technology Publishing House, 1993.
- [2] 邢义, 宋学全. 高性能高速钢刀具材料及其热处理工艺 [J]. 金属加工(热加工), 2012(3): 49—51.  
XING Yi, SONG Xue-quan. High Performance High Speed Steel Cutting Materials and Their Technologies for Heat Treatment [J]. Metal Processing (Hot Working), 2012(3): 49—51.
- [3] 沈中. 刀具涂层及其性能评价 [D]. 上海: 上海交通大学, 2007.  
SHEN Zhong. Evaluation of Cutting Tool Coating and Its Properties [D]. Shanghai: Shanghai Jiaotong University, 2007.
- [4] 戴兵, 张恒华, 黄波, 等. DLC 表面处理对高速钢耐磨性能的影响 [J]. 表面技术, 2008, 37(6): 24—26.  
DAI Bing, ZHANG Heng-hua, HUANG Bo, et al. Effect of DLC Surface Treatment on Wear Resistance of High Speed Steel [J]. Surface Technology, 2008, 37(6): 24—26.
- [5] 吴大维, 刘传胜, 傅德君, 等. 刀具涂层技术的新进展 [J]. 中国机械工程, 2000, 11(5): 574—577.  
WU Da-wei, LIU Chuan-sheng, FU De-jun, et al. New Progress of Cutting Coating Technology [J]. China Mechanical Engineering, 2000, 11(5): 574—577.
- [6] RIBALKO Alexander V, SAHIN Orhan. A Modern Representation of the Behaviour of Electrosparck Alloying of Steel by Hard Alloy [J]. Surface and Coatings Technology, 2006, 201(3/4): 1724—1730.
- [7] 金君, 董晨竹, 徐东, 等. 电火花沉积 Ni 基合金涂层的摩擦磨损特性 [J]. 表面技术, 2011, 40(6): 32—34.  
JIN Jun, DONG Chen-zhu, XU Dong, et al. Tribological Properties of Ni-based Coatings Prepared by Electrosparck Deposition [J]. Surface Technology, 2011, 40(6): 32—34.
- [8] 赵程, 高玉新. 电火花沉积 Ni 基合金涂层的质量过渡及电极损失 [J]. 表面技术, 2012, 41(3): 51—53.  
ZHAO Cheng, GAO Yu-xin. Mass Transfer Regularity and Mass Loss of Electrosparck Deposited Ni-based Coating [J]. Surface Technology, 2012, 41(3): 51—53.
- [9] 董晨竹, 刑斌赛, 郝杰, 等. 电火花沉积 Fe 基合金涂层的组织及耐磨性能 [J]. 表面技术, 2013, 42(2): 37—39.  
DONG Chen-zhu, XING Bin-sai, HAO Jie, et al. Microstructure and Wear Properties of Fe-based Coating Prepared by Electrosparck Deposition [J]. Surface Technology, 2013, 42(2): 37—39.
- [10] 张辉, 马跃进, 郝建军, 等. 电火花沉积制备 WC 涂层高速钢钻头研究 [J]. 焊接, 2008(8): 40—43.  
ZHANG Hui, MA Yue-jin, HAO Jian-jun, et al. WC Coating Deposited by Electrosparck Process on High Speed Steel [J]. Welding & Joining, 2008(8): 40—43.
- [11] SOMA RAJU K R C, NADIMUL HAQUE F, SRINIVASA RAO D, et al. Electro-spark Coatings for Enhanced Performance of Twist Drills [J]. Surface and Coatings Technology, 2008, 202: 1636—1644.
- [12] 宋贵宏, 杜昊, 贺春林. 硬质与超硬涂层——结构、性能、制备与表征 [M]. 北京: 化学工业出版社, 2007.  
SONG Gui-hong, DU Hao, HE Chun-lin. Super and Hard Coating—The Structure, Properties, Preparation and Characterization [M]. Beijing: Chemical Industry Press, 2007.
- [13] 王建升. 电火花沉积工艺及沉积层性能的研究 [J]. 表面技术, 2005, 34(1): 27—30.  
WANG Jian-sheng. Study on Electro-spark Deposition Process and Property of ESD Coating [J]. Surface Technology, 2005, 34(1): 27—30.
- [14] 张瑞珠, 李静瑞, 肖明, 等. 电火花微纳涂层的研究与应用 [J]. 表面技术, 2013, 42(2): 108—111.  
ZHANG Rui-zhu, LI Jing-rui, XIAO Ming, et al. Research and Application of Micro Nanostructured Coating by Electro-spark [J]. Surface Technology, 2013, 42(2): 108—111.
- [15] 李玉美. TiN 涂层高速钢钻头的切削性能与应用研究 [J]. 新技术新工艺, 1995(4): 20—21.  
LI Yu-mei. Study of Cutting Properties and Application of High Speed Steel Drill Coated TiN [J]. New Technique and New Process, 1995(4): 20—21.